

Contrôle Continu 2 - BRISURE DE SYMÉTRIE

$$\textcircled{1} \quad \phi(x) = \frac{1}{\sqrt{2}} (\varphi_1(x) + i \varphi_2(x)) \quad \vec{\varphi} = \begin{pmatrix} \varphi_1 \\ \varphi_2 \end{pmatrix}$$

On choisit pour le vide: $\vec{\varphi}_0 = \begin{pmatrix} v \\ 0 \end{pmatrix} \Rightarrow \phi_0 = \frac{1}{\sqrt{2}} v$

Excitation du champ (développement autour du vide): $\phi(x) = \frac{1}{\sqrt{2}} (v + h(x) + i g(x))$

h : degré de liberté aligné au vide \rightarrow boson de Higgs

g : degré de liberté orthogonal au vide \rightarrow boson de Goldstone (générateur "cassé")

$$\textcircled{2} \quad V(\phi) = -\mu^2 \phi^* \phi + \lambda (\phi^* \phi)^2 = -\frac{\mu^2}{2} \vec{\varphi}^2 + \frac{\lambda}{4} (\vec{\varphi}^*)^2 = -\frac{\mu^2}{2} R^2 + \frac{\lambda}{4} R^4$$

Minimisation du potentiel: $R_0 = v = \sqrt{\frac{\mu^2}{\lambda}}$

Redéfinition du potentiel: $V(R) = -\frac{\mu^2}{2} R^2 + \frac{\lambda}{4} R^4 + \frac{\lambda}{4} v^4 = \frac{\lambda}{4} (R^2 - v^2)^2$

Avec $\phi = \frac{1}{\sqrt{2}} (v + h + i g)$ et $\vec{\varphi} = \begin{pmatrix} v+h \\ g \end{pmatrix}$:

$$V(\phi) = \frac{\lambda}{4} (\vec{\varphi}^2 - v^2)^2 \supset \frac{\lambda}{4} (v+h)^4 \supset \frac{\lambda}{4} \cdot 2v^2 h^2 = \frac{\lambda}{2} v^2 h^2$$

\Rightarrow masse de h : $m_h^2 = \lambda v^2$

$$\textcircled{3} \quad \mathcal{L}_{\text{fermion}} = -y(\bar{\psi}_L \phi \psi_R + \bar{\psi}_R \phi \psi_L) = -\frac{y}{\sqrt{2}} (\bar{\psi}_L (v+h) \psi_R + \bar{\psi}_R (v+h) \psi_L)$$

$$= -\frac{Yv}{\sqrt{2}} (\bar{\psi}_L \psi_R + \bar{\psi}_R \psi_L)$$

Terme de masse fermionique avec $m_\psi = \frac{Yv}{\sqrt{2}}$

- \textcircled{4} Terme de masse fait intervenir ψ_L et ψ_R : terme de mélange de ces deux états
 État physique: $\psi = \frac{1}{\sqrt{2}} (\psi_L + \psi_R)$

$$\textcircled{5} \quad \mathcal{L}_{\text{fermion}} = -\frac{y}{\sqrt{2}} (\bar{\psi}_L h \psi_R + \bar{\psi}_R h \psi_L)$$

Terme d'interaction $\bar{\psi}_L h \psi_R$

Règle de Feynman associée: $-\frac{iY}{\sqrt{2}}$

$$\textcircled{6} \quad \begin{array}{c} \psi_L \\ \hline \text{---} \\ h \end{array} \quad \begin{array}{l} \text{amplitude: } M = \bar{u}_R i \frac{Y}{\sqrt{2}} u_L = i \frac{m_\psi}{\sqrt{2}} \bar{u}_R u_L \\ m_\psi = \frac{Yv}{\sqrt{2}} \Rightarrow \frac{Y}{\sqrt{2}} = \frac{m_\psi}{v} \end{array}$$

$$\textcircled{7} \quad m_h = 125 \text{ GeV} < 2m_{\text{top}} \approx 350 \text{ GeV}$$

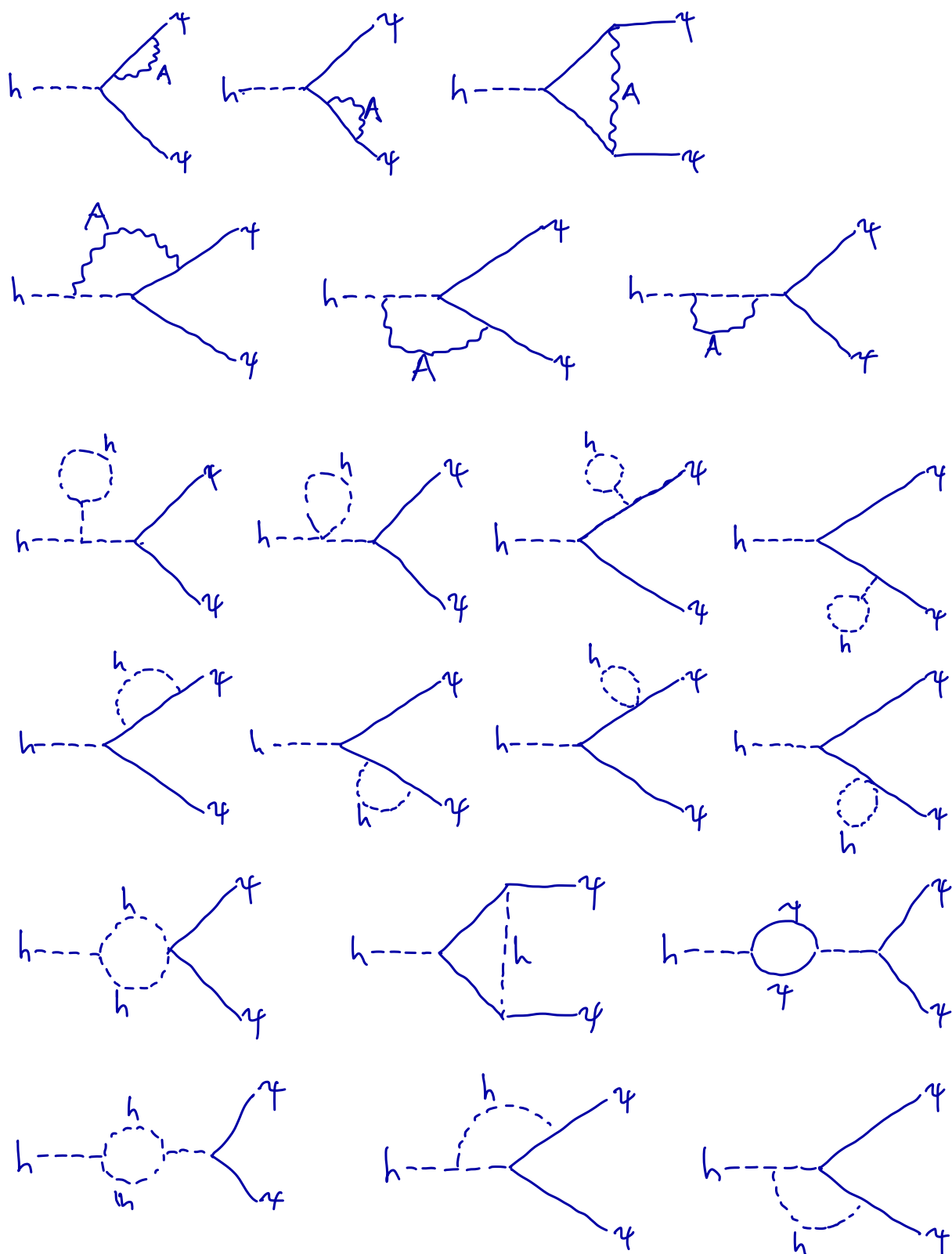
$$m_h > 2m_f \text{ pour } f = u, d, c, t, b, e, \mu, \tau$$

$$T(h \rightarrow f\bar{f}) \propto |M|^2 \propto m_f^2$$

$$\Rightarrow \text{Canal privilégié: } h \rightarrow b\bar{b}$$

- \textcircled{8} Couplage de Yukawa: interaction Higgs-fermion
 et masse fermionique

⑨ $h \rightarrow \bar{\psi}_L \psi_R$: diagrammes à une boucle



⑩ Degré superficiel de divergence: $D = 4L - 2B - F$

Tous les diagrammes ci-dessus divergent ($D \geq 0$) sauf les "triangles" avec 2 propagateurs bosoniques et 1 propagateur fermionique dans la boucle.